

九州大学工学部 正員 上田年比古  
 " " O 村尾 哲

### 1. まえがき

本報は排水問題によくみられる、図-1 に示すような、帯状に水平に広がった浸透領域の底部の不透水層の一端にほられた長方形のみぞの部分（以上の断面をニニズハ複合断面とよんだ）に、円形暗きよが埋設され、領域上面は湛水で被われ、暗きよ内は水で満たされた場合の暗きよ排水量（または取水量）の算定についてのべるものである。

この場合の解析手段として、等角写像の線返しにより、与えられた複合断面の浸透領域を簡単な領域に写像して暗きよ排水量を求める方法と、複合断面の帯状に長い領域と埋込部の長方形領域に分けて、おのおのの浸透流量の算定式を複素ポテンシャルの理論より導き、これらが導かれた値を持つことから暗きよ排水量を求める方法がある。

第一の等角写像の線返しによる算定方法はかなり複雑であり、現場での使用は困難と考えられる。したがって、第二の方法による算定結果の近似の程度がよければ、より簡単に算定できることがわかる。ニニズハニツの算定法による結果を比較検討したものである。

### 2. 写像の線返しによる排水量の計算

○領域の写像 図-1 (Z-平面) の浸透領域と図-2 ( $\zeta$ -平面) の上半面との間の写像関数は  $\zeta$ -平面の  $C$  点が  $\zeta = 1/(m \sin \alpha)$  で表わされるような実定数  $m$  を考えると、Schwarz-Christoffel の変換より

$$Z = M \int_0^{\zeta} \frac{(1-m^2 \zeta^2)}{1-m^2 \sin^2(\alpha, m) \cdot \zeta^2} d\zeta \quad \dots \dots (1)$$

$m = i/m$  は  $sn$  関数の母数で、 $M$  は実定数とする。

次に、この図-2 の上半面と図-3 (Z-平面) の長方形領域内との写像関数は  $sn$  関数を使って次式のようにあらわされる。

$$\zeta = m(Z, m) \quad \dots \dots (2)$$

なお、図-3 の  $K, K'$  はそれぞれ母数  $m, m' (= \sqrt{1-m^2})$  に関する一種完全椭円積分とする。

筆者等はこの図-3 の有限流入部をもつ長方形領域内にあらわす暗きよへの流入量の算定式をすでに求めている。<sup>1)</sup>したがって式-(1), (2) の写像関数を使って図-1 の浸透領域から図-3 の長方形領域が決定されれば、図-1 の浸透領域の暗きよ排水量を求めることが可能となる。

式-(2)に式-(1)を代入すると。

$$Z = M \int_0^{\zeta} \frac{1-m^2 \sin^2(Z, m)}{1-m^2 \sin^2(\alpha, m) \cdot m^2(Z, m)} dZ \quad \dots \dots (3)$$

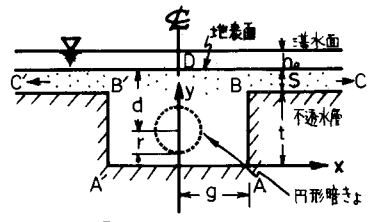


図-1 Z-平面

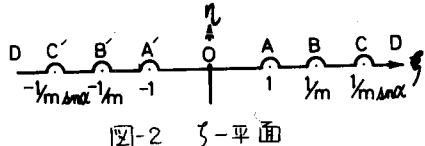


図-2  $\zeta$ -平面

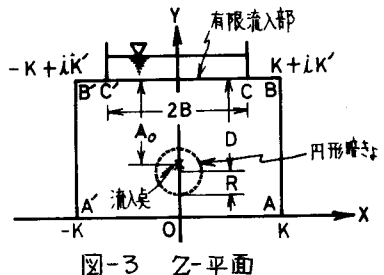


図-3 Z-平面

さうに式(3)をオニ種積円積分<sup>2)</sup>Π(Z, d, m)を使って変形すると。

$$Z = M \left[ Z - \frac{cn(\alpha, m)}{sn(\alpha, m) \cdot dn(\alpha, m)} \Pi(Z, \alpha, m) \right] \quad \dots \dots \dots \quad (4)$$

$$\therefore \Pi(Z, \alpha, m) \equiv m^2 \cdot sn(\alpha, m) \cdot cn(\alpha, m) \cdot dn(\alpha, m) \cdot \int_0^Z \frac{dn^2(Z, m)}{1 - m^2 sn^2(Z, m) dn^2(Z, m)} dZ$$

○未知数 M, m, α の算定 まず Z-平面の S の長さを求める。式(4)より

$$\text{虚軸に沿う } \overline{OD} \text{ の長さ } S + t = M \left[ K + (cn\alpha / sn\alpha \cdot dn\alpha) \left\{ \frac{\pi}{2} - K'Z(\alpha) - \pi\alpha/2K \right\} \right] \quad \dots \dots \dots \quad (5)$$

$$\overline{AB} \text{ の長さ } t = M \left[ K' - (cn\alpha / sn\alpha \cdot dn\alpha) \cdot \left\{ K'Z(\alpha) + \pi\alpha/2K \right\} \right] \quad \dots \dots \dots \quad (6)$$

$$[\text{式(5)}] - [\text{式(6)}] \text{ より } S = M \cdot (\pi/2) \cdot (cn\alpha / sn\alpha \cdot dn\alpha) \quad \dots \dots \dots \quad (7)$$

$$\therefore i = Z(\alpha) \text{ は Jacobi の Zeta 関数で } Z(\alpha) = E(\alpha) - E \cdot \alpha / K \quad \dots \dots \dots \quad (8)$$

E(α)はオニ種積円積分, Eはオニ種完全積円積分である。

次に図-1 の B 点について考える。式(4)より

$$g + it = M \left[ K + iK' - (cn\alpha / sn\alpha \cdot dn\alpha) \cdot \Pi(K+iK', \alpha, m) \right] \quad \dots \dots \dots \quad (9)$$

$$\therefore i = \Pi(K+iK', \alpha, m) \equiv (K+iK') \cdot Z(\alpha) + i\pi\alpha/2K \quad \dots \dots \dots \quad (10)$$

式(9)と式(10)に代入し、式(4)で割って実数部と虚数部にわけると

$$g/S = (2/\pi) \cdot K \left\{ sn\alpha \cdot dn\alpha / cn\alpha - Z(\alpha) \right\} \quad \dots \dots \dots \quad (11)$$

$$t/S = (2/\pi) \cdot K' \left\{ sn\alpha \cdot dn\alpha / cn\alpha - Z(\alpha) \right\} - \alpha/K \quad \dots \dots \dots \quad (12)$$

この式(11)と式(12)を同時に満足する m, α を求めればよい。

いま求めやすくするために、式(11)を式(12)に代入すると次式がえられる。

$$\alpha = (gK' - tK)/S \quad \dots \dots \dots \quad (13)$$

LE がって、母数 m の値を仮定して、K, K' および E の値を求めて、式(13)から d, 式(8)から Z(α)を計算して、それと式(11)に代入し、求めた左辺の値が右辺の値と一致するまで計算を繰り返す。

以上のようにして求めた m, d を式(6)に代入すれば M の値が求まる。なお、以上の計算における

K, K', E, E(α) および snα 等の値は概略であれば数表からも読み取れる。<sup>3)</sup>

○流入量の算定 式(2)の逆関数 F(ζ, m) すなはちオニ種積円積分における  $1/mu = \zeta$  とすると

$$(\overline{BC})_Z = \int_{1/m}^{1/m \tan \alpha} \frac{d\zeta}{\sqrt{1-\zeta^2} \sqrt{1-m^2 \zeta^2}} = \int_{sn\alpha}^1 \frac{du}{\sqrt{1-u^2} \sqrt{1-m^2 u^2}} = K - F(sn\alpha, m)$$

となるから、図-3における有限流入部の長さ 2B は次式で与えられる。

$$(CC')_Z = 2B = 2F(sn\alpha, m) = 2\alpha \quad \dots \dots \dots \quad (14)$$

次にオニ種積円積分は

$$\Pi(iu, \alpha, m) = \frac{1}{2} \ln \frac{\Theta(iu-\alpha)}{\Theta(iu+\alpha)} + iuZ(\alpha) = i \left\{ \tan^{-1} \frac{2 \sum_{n=1}^{\infty} (-1)^n q^n \sin \frac{n\pi\alpha}{K} \sinh \frac{n\pi u}{K}}{1 + 2 \sum_{n=1}^{\infty} (-1)^n q^n \cos \frac{n\pi\alpha}{K} \cosh \frac{n\pi u}{K}} + uZ(\alpha) \right\} \quad \dots \dots \dots \quad (15)$$

$\therefore i = \Theta(iu \pm \alpha)$  は Jacobi の Theta 関数で

$$\Theta(u) = \vartheta_4 \left( \frac{v}{2K}, \frac{iK'}{K} \right) = 1 + 2 \sum_{n=1}^{\infty} (-1)^n q^n \cos(n\pi u/K), \quad q = e^{-\frac{K'}{K}\pi}$$

LE がって Z-平面の虚軸上の位置に対応する Z-平面の虚軸上の位置は、式(4)に式(15)を代入すれば決まる。そこで、あらかじめ式(4), (15)を使って Z-平面と Z-平面との虚軸上の位置の対応関

係を計算しておのとの境界でグラフ化しておき、排水量の計算の際には、与えられた Z-平面内の暗きよに対する Z'-平面内の暗きよの位置をこれから読みとれるようにしておいた。

以上により Z-平面は決定され、これらの値を Z-平面の暗きよ流入量の算定式に代入すれば、Z-平面の暗きよ排水量が算定できる。

図-3 (Z-平面) に示す長方形領域内の複素ポテンシャルは

$$W = \mu \cdot \ln \frac{\sin(Z, m') / \sqrt{AC^2(B, m) + AM^2(Z, m')}}{\sin(A_0, m') / \sqrt{AC^2(B, m) + AM^2(A_0, m')}} + \mu' \quad \dots \dots (16)$$

であらわされるから、Z-平面の暗きよ周壁と流入部 (CC') との間の速度ポテンシャル差を、Z-平面の暗きよ周壁と地表面との間の速度ポテンシャル差に等しくとると、Z-平面の暗きよ流入量の算定式は<sup>1)</sup>

$$Q_{\text{push}} = 2\pi / \ln \frac{\sqrt{\sin(D+R, m') / \sqrt{AC^2(B, m) + AM^2(D-R, m')}} + \sqrt{\sin(D-R, m') / \sqrt{AC^2(B, m) + AM^2(D+R, m')}}}{\sqrt{\sin(D+R, m') / \sqrt{AC^2(B, m) + AM^2(D-R, m')}} - \sqrt{\sin(D-R, m') / \sqrt{AC^2(B, m) + AM^2(D+R, m')}}} \quad \dots \dots (17)$$

ここで  $\Delta H$  は暗きよ周壁と地表面との水頭差で  $\Delta H = h_0 + d - (p_0 / \rho g)$ 、 $p_0$  は暗きよ中心の圧力。

### 3. 近似解法による排水量の計算

以上の暗きよ排水量の算定方法は非常に複雑であり、以下に近似的な取扱い方の算定式を求めてみよう。いま図-1 の浸透領域において、上部の帯状に無限に広い領域と下部の長方形領域（埋込部）との境界 (BB') を等ポテンシャル線であると仮定すると、図-1 の浸透領域を上部と下部に分割し、図-1 の流れをこれら二つの独立した浸透領域内の流れとして別々に解析できる。<sup>4)</sup>

#### ○上部の帯状領域

図-1 の浸透領域は左右対称だから、ここのことは図-5 のように帯状領域の右半分の領域だけを考える。

この帯状領域を、水平方向に無限に長い長方形領域と考えると t-平面の上半面に写像する写像関数は次式であらわされる。

$$\zeta = \sin(\frac{\pi z}{2S}, 1) = \tanh \frac{\pi z}{2S} \quad \dots \dots (18)$$

ここで t-平面の B' 点の値は式(18)から

$$\beta = \tanh^2(\pi g / 2S) \quad \dots \dots (19)$$

次に、t-平面から s-平面への写像関数は双一次変換式より

$$\zeta = \frac{1}{1-\beta} \cdot \frac{\zeta - \beta}{\zeta} \quad \dots \dots (20)$$

$t=\infty$  を  $\zeta = 1/m_I^2$  に対応させれば上式より

$$m_I^2 = 1 - \beta = 1 / \cosh^2(\pi g / 2S) \quad \dots \dots (21)$$

さらに、s-平面を次式で写像すると、W-平面を得る。

$$\zeta = m_I^2 \{ (W - \Phi_d) \cdot K_I' / \Delta \Phi, m_I \} \quad \dots \dots (22)$$

なお、式中の母数  $m_I$  の値は式(21)より与えられる。

ここで W-平面の長方形の縦横の長さの比  $\Delta H / \Delta \Phi$  は  $m_I$  および  $m_I'$

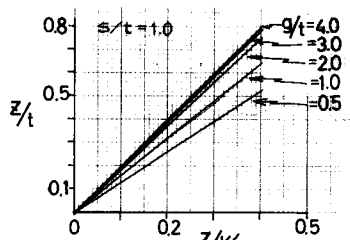


図-4 虚軸上の対応関係

----- (16)

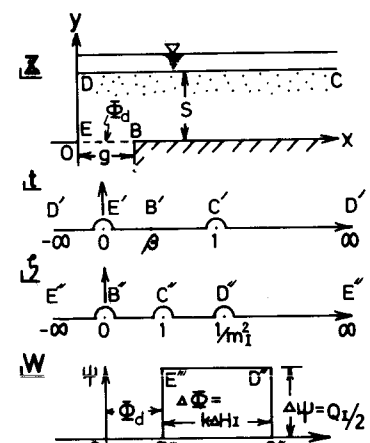


図-5 帯状領域の写像

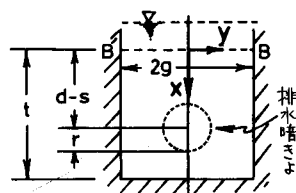


図-6 長方形埋込部の領域

$$(=\sqrt{1-m_I^2})$$
 に関する第一種完全橿円積分の比  $K'_I/K_I = \text{常数}$  から、 $\Delta H = Q_I/2$ ,  $\Delta \Phi = \frac{1}{2} \cdot \Delta H_I$  とおくと、  

$$Q_I / \frac{1}{2} \cdot \Delta H_I = 2K'_I / K_I \quad \cdots \cdots \quad (23) \quad (\Delta H_I \text{ は } DC \text{ と } EB \text{ との間の水頭差を示す。})$$

### ○下部の長方形埋込部

図-6の暗きよ排水量の算定式は、式-(17)において  $D=R \Rightarrow (d-s+r) \cdot K_{II}/t$ ,  $\Delta H$  を  $BB'$  と暗きよ周壁との間の水頭差  $\Delta H_{II}$ , [流入部の幅  $B$ ]=[領域幅  $L$ ] すなわち  $AC(B, m) = AC(K, m) \Rightarrow \infty$  と置いた式と一致する。なお、この場合の  $s/m$  関数の母数は、図-6の縦横の長さの比が  $g/t = K'_I/K_{II}$  となるよう第一種完全橿円積分の母数と同値で、 $m_I$  でもらわすものとする。

### ○暗きよ排水量の算定式

求めた暗きよ排水量を  $Q$  とおくと、連続の条件より

$$\begin{aligned} Q &= Q_I = Q_{II} \\ \text{また暗きよ周壁と地表面との水頭差を } \Delta H \text{ とすれば} \\ \text{であるから整理すると} \end{aligned}$$

$$Q / \frac{1}{2} \cdot \Delta H = 2\pi \left/ \left( \frac{\pi K_I}{K'_I} + \ln \frac{\sqrt{m_I} \left\{ \frac{K_I}{t} (d-s+r), m_{II} \right\} + \sqrt{m_{II}} \left\{ \frac{K_{II}}{t} (d-s-r), m_I \right\}}{\sqrt{m_I} \left\{ \frac{K_I}{t} (d-s+r), m_{II} \right\} - \sqrt{m_{II}} \left\{ \frac{K_{II}}{t} (d-s-r), m_I \right\}} \right) \right) \quad \cdots \cdots (24)$$

したがって式-(24)が暗きよ排水量の近似的な算定式である。

### 4. 算定式の検討

$0.5 \leq g/t \leq 4.0$  の範囲の式-(17), (24)の算定結果を図-7で砂モデルの実験結果と比較している。これによると式-(17)の算定結果は実験結果とほぼ一致しており、式-(17)は図-1の浸透領域の暗きよ排水量を求める算定式として、ほぼ満足できる結果を与えるものであるといえよう。また式-(17)と式-(24)との算定結果は非常に小さな  $g/t$  の小さな暗きよの場合に一致し、 $g/t$  が大きくなるにつれて算定誤差が大きくなる傾向を示してある。そこで、 $BB'$  付近の速度ポテンシャル分布について検討してみよう。

いま  $g/t = s/t = 1.0$ ,  $d+r=t+s$ ,  $2r/t=0.2$  の場合の等ポテンシャル線を電気モデルによって描いてみると図-8のようになり、 $BB'$  線附近の等ポテンシャル線がゆるやかな山形になつてゐるがわかる。この影響で図-7に式-(17)と式-(24)の算定誤差としきらわれてくるから、さらに大きな  $g/t$  の場合には等ポテンシャル線の形状が円に近づいてゆくので、 $BB'$  線を等ポテンシャル線とする仮定に無理を生じ、式-(17)と式-(24)との算定誤差が大きくなるのはまちうかであろう。したがって、式-(24)は非常に細長い埋込部の場合にしか使用できない。すなわち、浸透領域を分割して解析できるのは、一般に、分割部の幅が非常に狭い場合に限られるだろう。

参考文献: 1) 上田・杉尾, “有限流入部をもつ長方形浸透領域内の暗きよ取水量について” 第23回年次学術講演会 II-154, P.433.

2) 反対書, “橿円函数論” 共立出版, 昭和33年, 3) 例文: 林桂一, 森口繁一, “高等函数表” 第2版, 岩波書店, 1967年, 春日産伸昌, “新編函数値表” 学術社, 昭和43年, 4) 富士岡義一, 高橋龍, “成層土壌における暗きよ排水の基礎的研究(III)” 農業土壤会議論文集第23号, 1968年.

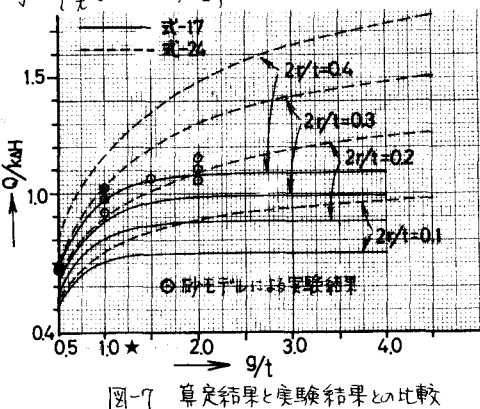


図-7 算定結果と実験結果との比較

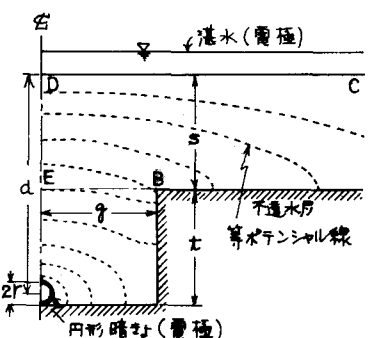


図-8 等ポテンシャル線図